

Simultaneous Compensation of Active and Reactive Power in the Presence of Distributed Generation Sources Using a New Analytical Method

Ramin Borjali Navesi¹, Sasan Piruzi²

¹ Phd, Department of Electrical Engineering, Technical and Vocational University, Urmia, Iran
r.borjali.68@gmail.com

² Assistant Professor, Department of Electrical Engineering, Islamic Azad University, Semirom, Iran
a.pirouzi69@yahoo.com

Abstract:

In this paper, a new analytical approach for the optimal active and reactive power scheduling of distributed generations (DG) and capacitor banks in distribution networks is presented. The scheme is very simple and lacks the complexity of other methods. The objective functions used in this study include minimizing power losses and improving the voltage profile of the distribution network. To show the capabilities of the scheme, simulation results have been performed on 33 distribution network and its performance has been compared with global searching methods. Finally, the presented approach to achieve the optimal power coefficients of DGs and capacitor banks has also been used in the 119 bus distribution network. The simulation results show that the analytical approach presented in finding optimal results is very strong, fast and easy and can be used on wide distribution systems.

Keywords: Locating and determining optimal capacity, Distributed generation sources, Capacitor banks, Distribution network, New analytical method

Article Type: Research

Received: 07. 04. 2023

Revised: 09. 01. 2024

Accepted: 21. 04. 2024

Corresponding author: Sasan Piruzi

Corresponding author's address: Elec. Eng. Dep., Islamic Azad University, Semirom, Iran



1. Motivation of the work

Traditionally, distribution systems are operated in centralized and vertical manner due to the simplicity of control and protection operations. These networks include radial or weakly-meshed topologies having high value of R/X ratio which results in improper voltage profile and high power losses. A prevalent action taken by the network operators to settle this problem is the feeder reconfiguration techniques. By the introduction of distributed generation (DG) into power system, there has been another alternative to tackle with the poor voltage regulation and high power losses in distribution system. DG units, with several technological types, have potential advantages such as voltage profile improvement, power loss reduction, reliability enhancement, and investment deferral of system equipment. If the DG units' location and size are properly determined, they can play a key role in minimizing power loss and improving voltage profile of distribution networks.

2. Contributions

Among the methodologies used for DG siting and sizing problem, the analytical approaches have attracted great attention due the simplicity of their implementation comparing to the other techniques. The current paper proposes a novel analytical method for optimal allocation of active and reactive power sources, i.e. distributed generation (DG) and capacitor banks. The conducted approach is very simple and lacks the complications of other methods. Based on some analytical calculation, two main formulations are derived. Then, the resulting formulations are used to site and size capacitor and DG in 33-bus distribution network to verify its performance by comparing the obtained results with those of global search method. Then, the proposed method is used to allocate specified number of DG and capacitor on 33 and 69-bus systems. Finally, the conducted approach is employed to allocate multiple DGs and capacitors, and also multiple DGs with optimal power factor on 119-bus distribution network. The simulation results demonstrate that the presented analytical approach is very strong in finding the optimal results, very fast and simple, and applicable to large distribution systems.

3. Procedures

the proposed analytical approach for optimal active and reactive power compensation in radial distribution networks is described and formulated mathematically. It is aimed to determine the location and capacity of both active and reactive compensators, i.e. DGs and capacitors in order to minimize the power loss and improve the voltage profile in distribution network. To verify the effectiveness of the developed approach, it is applied to the 33-bus distribution network, and the obtained results are compared with those of recent works. For this aim, six scenarios are considered . Three scenarios are related

to siting and sizing of 1, 2, and 3 DG units with unity power factor, and the other three scenarios corresponding to siting and sizing of 1, 2, and 3 capacitor banks. In each scenario, the results are compared with the results obtained from the improved analytical (IA) method and the hybrid approach proposed. As it can be seen, in some cases (1DG, 2DG, 3DG), the proposed approach obtains lower power loss with the sizes not so much higher than the other methods. In some other cases (1C, 2C, 3C), the proposed approach reaches almost the same power loss but with lower sizes.

4. Findings

In the previous case studies, only active (DG with unity power factor) or reactive power (capacitor) allocation were considered. By using the proposed approach in this part, it is aimed to allocate DG injecting both active and reactive power. Also, the optimal power factor of the allocated DG units is determined. This optimal power factor determines the best value of injected active (P) and reactive power (Q) for the sake of acquiring minimum power loss. For this purpose, the proposed approach is tested on a large-scale system, 119-bus radial distribution network in five scenarios. The scenarios include sizing and siting of 1) five capacitor 2) five DGs with unity power factor 3) five DGs with optimal power factor (PF) 4) seven DGs with unity power factor 5) seven DGs with optimal PF.

5. Conclusion

There have been a wide range of solution methodologies such as mathematical, heuristic, meta-heuristic, and analytical algorithms presented for the siting and sizing of active and reactive power sources in radial distribution systems. Based on two main formulations, a novel analytical approach is proposed in this paper which is very simple, fast, accurate, and applicable to large distribution systems. To verify the efficiency of the conducted approach, it is first tested on 33-bus distribution network to allocate capacitor banks and DG units with unity power factor, and the obtained results are compared with those of global search method. Then, the proposed method is used to allocate multiple DGs and capacitors on 33 and 69-bus distribution systems, and the obtained results are compared with PSO, IA, and Hybrid method reported in recent literature. After confirming the capability of the conducted method, at the final stage, it is employed to allocate multiple DGs with optimal power factor on 119-bus distribution network. It is verified that the proposed analytical approach is superior to the previous methods in terms of total allocated size, power loss reduction, and computational time. In total, the presented approach is very accurate, fast and simple, and applicable to large distribution systems.

جبران سازی همزمان توان اکتیو و راکتیو در حضور منابع تولید پراکنده با استفاده از یک روش تحلیلی جدید

رامین برجلی نوه سی^۱، ساسان پیروزی^۲

۱- دکتری- گروه مهندسی برق- دانشگاه دانشگاه فنی حرفه ای- ارومیه- ایران

r.borjali.68@gmail.com

۲- استادیار- دانشکده مهندسی برق- دانشگاه آزاد - سمیرم- ایران

a.pirouzi69@yahoo.com

چکیده: در این مقاله یک روش تحلیلی جدید برای تخصیص بهینه توان‌های اکتیو و راکتیو منابع تولید پراکنده (DG) و بانک‌های خازنی در شبکه‌های توزیع ارائه شده است. روش انجام کار بسیار ساده و فاقد پیچیدگی سایر روش‌ها است. توابع هدف بکار گرفته شده در این مطالعه شامل مینیمم سازی تلفات توان و بهبود پروفیل ولتاژ شبکه توزیع می‌باشد. برای نشان دادن کارایی روش پیشنهادی، نتایج شبیه‌سازی بر روی شبکه توزیع ۳۳ باسه انجام شده و عملکرد آن با روش‌های جستجوی سراسری مقایسه شده است. در نهایت رویکرد ارائه شده برای تخصیص ضرایب توان بهینه DGها و بانک خازنی در شبکه توزیع ۱۱۹ باسه نیز بکار گرفته شده است. نتایج شبیه‌سازی نشان می‌دهد که رویکرد تحلیلی ارائه شده در یافتن نتایج بهینه، بسیار قوی، سریع و آسان می‌باشد و بر سیستم‌های توزیع وسیع قابل استفاده است.

کلمات کلیدی: مکان یابی و تعیین ظرفیت بهینه، منابع تولید پراکنده، بانک‌های خازنی، شبکه توزیع، روش تحلیلی جدید

نوع مقاله: پژوهشی

دریافت: ۱۴۰۲/۰۱/۱۸

بازنگری: ۱۴۰۲/۱۰/۱۹

پذیرش: ۱۴۰۳/۰۲/۰۲

نام نویسنده‌ی مسئول: دکتر ساسان پیروزی

نشانی نویسنده‌ی مسئول: ایران - سمیرم - دانشگاه آزاد اسلامی - دانشکده‌ی برق

۱- مقدمه

سیستم های توزیع به دلیل سادگی حفاظت و کنترل به صورت متمرکز مورد بهره برداری قرار می گیرند. این شبکه ها شامل توپولوژی های شعاعی یا مش ضعیف و نسبت R/x بالا هستند که منجر به ایجاد ولتاژ نامناسب و تلفات زیاد خواهند شد [۱-۳]. برای حل این مشکل در مرجع [۴-۸] تکنیک های پیکربندی مجدد استفاده شده است. با نفوذ منابع DG، گزینه دیگری برای مقابله با تنظیم ولتاژ و تلفات بالای توان در سیستم های توزیع بوجود آمده است [۹]. واحدهای DG با تکنولوژی های مختلف، دارای مزایای بالقوه مانند بهبود پروفیل ولتاژ، کاهش اتلاف انرژی و افزایش قابلیت اطمینان هستند. اگر مکان و اندازه واحدهای DG به درستی تعیین شوند، می توانند نقشی کلیدی در به حداقل رساندن تلفات توان و بهبود پروفیل ولتاژ شبکه های توزیع ایفا کنند [۱۰ و ۱۱].

مساله مکان یابی و تعیین ظرفیت DG در اصل یک مساله بهینه سازی پیچیده و غیرخطی است. تحقیقات انجام شده در این زمینه از نظر اهداف، محدودیت ها و الگوریتم های مطرح شده در چند دسته قرار می گیرند [۱۲]. توابع هدف تعیین شده توسط محققان شامل به حداقل رساندن تلفات توان [۱۳-۱۶]، بهبود پروفیل ولتاژ [۱۷-۲۰]، به حداقل رساندن هزینه های ارتقاء کیفیت شبکه [۲۰-۲۲]، بهبود قابلیت اطمینان [۲۳-۲۷] و کاهش آلودگی های زیست محیطی [۲۸] می باشد.

طیف وسیعی از روش های حل مساله مکان یابی و تعیین ظرفیت DG ها پیشنهاد شده اند. این تکنیک ها اساساً به صورت الگوریتم های برنامه ریزی ریاضیاتی، روش های ابتکاری، فراابتکاری و روش های تحلیلی دسته بندی می شوند. روش های دسته اول از فرمولاسیون های ریاضی نظیر برنامه ریزی خطی و غیرخطی اعداد صحیح مختلط استفاده می کند [۲۹-۳۰]. روش های ابتکاری، مبتنی بر تجربه مهندسی مانند تحقیقات انجام شده در [۳۱-۳۲] هستند. روش های فرا ابتکاری به صورت روش های بهینه سازی مبتنی بر جمعیت شناخته می شوند که شامل الگوریتم های مانند الگوریتم ژنتیک (GA^1) [۳۳ و ۳۴]، بهینه سازی ازدحام ذرات (PSO^2) [۳۵]، جستجوی هارمونی (HS^3) [۳۶]، زنبور عسل (ABC^4) [۱۴] و الگوریتم های ترکیبی مانند $GA-PSO$ [۳۷]، جستجوی ممنوعه-الگوریتم ژنتیک ($GA-TS^5$) [۳۸]، الگوریتم های جهش قورباغه و PSO ($PSO-$) [۳۸] (SFL) و غیره است. روش های مبتنی بر جمعیت ذکر شده در بالا به طور گسترده ای برای بهینه سازی مطالعات طراحی و بهره برداری بکار گرفته می شوند.

در میان روش های استفاده شده برای مساله مکان یابی و تعیین ظرفیت DG، روش های تحلیلی بخاطر سادگی پیاده سازی، در مقایسه با روش های دیگر مورد توجه زیادی بوده اند [۴۰-۴۳]. مینیمم سازی تلفات توان و بهبود پروفیل ولتاژ شبکه های توزیع رایج ترین اهداف پژوهشی در مساله تخصیص DG ها هستند. در [۴۴]، یک روش

تحلیلی برای تعیین مکان و اندازه DG ها، با هدف مینیمم سازی تلفات توان ارائه کردند. یک ضریب حساسیت به تلفات مبتنی بر تزریق جریان فرمول بندی شد که به ماتریس ادیتمتانس، معکوس آن یا ماتریس ژاکوبین نیاز ندارد. در مقاله [۴۰] از روش تزریق جریان فازوری برای بدست آوردن یک روش تحلیلی برای جایابی بهینه DG در شبکه توزیع استفاده کردند تا تلفات توان را به حداقل برسانند. در [۴۵] به مساله کاهش تلفات شبکه های توزیع با تعیین مکان و اندازه بهینه واحدهای DG با استفاده از یک روش تحلیلی پرداختند. روش توسعه یافته مبتنی بر یک فرمولاسیون غیر تکراری جدید در خصوص شارش توان است، که مشکلات همگرایی را حتی برای سیستم هایی که دارای نسبت های $\frac{R}{x}$ بالا هستند ندارد. در مرجع [۴۶] یک الگوریتم بهینه سازی غذاییابی باکتری ($BFOA^6$) برای تخصیص همزمان DG و جبران ساز استاتیکی ($DSTATCOM^A$) در سیستم توزیع به منظور حداقل کردن تلفات و هزینه های بهره برداری و همچنین بهبود منحنی ولتاژ ارائه شده است. در این مرجع ابتدا برای تعیین محل اولیه منبع تولید پراکنده و $DSTATCOM$ از ضریب حساسیت تلفات (LSE) استفاده شده است و سپس الگوریتم $BFOA$ برای تعیین ظرفیت بهینه DG و $DSTATCOM$ به ازای مدل های مختلف بار مورد استفاده قرار گرفته است.

۲- فرمول نویسی مساله

در این بخش روش تحلیلی پیشنهادی برای جبران سازی بهینه توان اکتیو و راکتیو در شبکه های توزیع شعاعی تشریح داده شده و با استفاده از عبارات ریاضی فرمول نویسی می شود. هدف از این کار تعیین محل و ظرفیت هر دو گروه جبران سازی توان اکتیو و راکتیو - یعنی DG و بانک های خازنی - به منظور به حداقل رساندن تلفات توان و بهبود منحنی ولتاژ در شبکه ی توزیع می باشد.

۲-۱- روش پیشنهادی در جبران سازی توان اکتیو

شکل (۱) نمای کلی یک شبکه ی توزیع معمولی دارای n شین را نشان می دهد. در این شبکه، پست تغذیه کننده نقش شین منبع را دارد و شین های بار را از طریق خطوط شعاعی تغذیه می کند. فرض کنید یک منبع توان (مثلاً یک DG) که به Z امین شین از این شبکه متصل است، توان اکتیو P_0 را به آن تزریق کند. تلفات توان اکتیو در این شبکه را می توان با جمع کردن تلفات توان در همه ی شاخه ها به صورت رابطه ی (۱) محاسبه کرد. بر اساس رابطه ی (۲) با نصب DG در گره ی Z ، تلفات توان برخی از خطوط (یعنی خطوطی که بین منبع تولید پراکنده و پست تغذیه کننده قرار دارند) کاهش پیدا می کند، اما تلفات توان سایر خطوط شبکه بر اثر نصب DG تغییری نخواهد کرد. چنانچه از اختلاف اندک بین رابطه ی (۱) و نخستین جمله از رابطه ی (۲) چشم پوشی کنیم، می توانیم تغییرات تلفات توان را پس از نصب DG با

تلفات توان پیش و پس از نصب DG را می‌توان بر حسب جریان عبوری از شاخه‌های شبکه و مطابق با روابط (۵) و (۶) محاسبه کرد. اختلاف بین این دو مقدار یعنی ΔP_{Loss} را نیز می‌توان به صورت رابطه-ی (۷) بیان نمود. حداکثر کردن مقدار ΔP_{Loss} مطابق با رابطه‌ی (۸) منجر به حداکثر شدن مجموع افت ولتاژها از پست تغذیه‌کننده تا شین z ام شبکه که DG در آن نصب شده است، می‌شود. این بدان معناست که شین z باید به عنوان شینی که دارای حداقل مقدار ولتاژ در مسیر است، انتخاب شود. در واقع در شبکه‌های توزیع شعاعی z شین آخر مسیر خواهد بود.

$$P_{Loss}^{Before} = \sum_{i=1}^n r_i |I_i|^2 \quad (5)$$

$$P_{Loss}^{After} = \sum_{i=1}^j r_i |I_i - I_0|^2 + \sum_{i=j+1}^n r_i |I_i|^2 \quad (6)$$

$$\begin{aligned} \Delta P_{Loss} &= P_{Loss}^{After} - P_{Loss}^{Before} \quad (7) \\ &= \sum_{i=1}^j r_i (I_0^2 - 2I_0 I_i) \\ &= \sum_{i=1}^j r_i I_0 (I_0 - 2I_i) \end{aligned}$$

$$\begin{aligned} \max(\Delta P_{Loss}) &\stackrel{yields}{\implies} \max\left(\sum_{i=1}^j r_i I_i\right) \quad (8) \\ &= \max\left(\sum_{i=1}^j \Delta V_i\right) \\ &= \max(1 - V_j) \\ &\stackrel{yields}{\implies} \min(V_j) \end{aligned}$$

از روابط (۴) و (۸) نتیجه می‌شود که برای حداقل کردن مقدار تلفات، لازم است که DG در شینی که بیشترین افت ولتاژ (کمترین ولتاژ) را دارد نصب شود، مشروط بر آنکه ظرفیت DG (P_0) از توان اکتیو عبوری از شاخه‌ی بالادست آن کوچک‌تر باشد.

برای محاسبه‌ی افت ولتاژ ناشی از جریان‌های اکتیو، بخش‌های راکتیو تمامی بارها در حین فرآیند مکان‌یابی و تعیین ظرفیت منبع تولید پراکنده حذف می‌شوند. با توجه به توضیحات فوق می‌توان از الگوریتم زیر برای تعیین محل نصب DG در شبکه‌های توزیع شعاعی استفاده کرد:

(۱) بخش راکتیو تمامی بارها را از داده‌های شبکه حذف کرده و برنامه‌ی پخش بار را اجرا کنید.

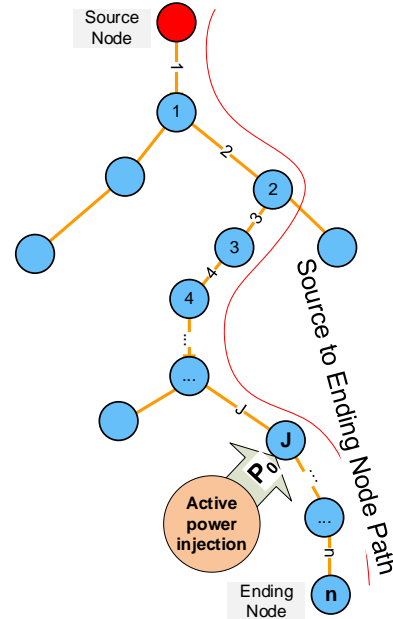
(۲) باس‌های شبکه را بر مبنای دامنه‌ی ولتاژ آن‌ها مرتب کنید.

(۳) توان اکتیو عبوری از شاخه‌ی بالادست (P_i) را محاسبه نمایید.

(۴) شین دارای کمترین ولتاژ که در شرط $P_0 < 2P_i$ صدق کند، بهترین شین برای نصب DG است.

برای ارزیابی عملکرد روش پیشنهاد شده در تعیین محل نصب بهینه منبع تزریق کننده توان اکتیو، الگوریتم فوق در یک شبکه‌ی توزیع ۳۳

تقریب به صورت رابطه‌ی (۳) بیان کنیم. برای اینکه تلفات توان پس از نصب DG کاهش یابد، باید شرط لازم در رابطه‌ی (۴) برقرار باشد.



شکل (۱): شبکه‌ی توزیع شعاعی با تزریق توان اکتیو به گره z

$$P_{Loss}^{Before} = \sum_{i=1}^n r_i \left(\frac{(P_i^2 + Q_i^2)}{|V_i|^2} \right) \quad (1)$$

$$P_{Loss}^{After} = \sum_{i=1}^j r_i \left(\frac{(P_i - P_0)^2 + Q_i^2}{|V_i|^2} \right) \quad (2)$$

$$\begin{aligned} &+ \sum_{i=j+1}^n r_i \left(\frac{(P_i^2 + Q_i^2)}{|V_i|^2} \right) \\ &= \sum_{i=1}^n r_i \left(\frac{(P_i^2 + Q_i^2)}{|V_i|^2} \right) \\ &+ \sum_{i=1}^j r_i \left(\frac{(P_0^2 - 2P_0 P_i)}{|V_i|^2} \right) \\ \Delta P_{Loss} &= P_{Loss}^{After} - P_{Loss}^{Before} \quad (3) \\ &\approx \sum_{i=1}^j r_i \left(\frac{(P_0^2 - 2P_0 P_i)}{|V_i|^2} \right) < 0 \end{aligned}$$

$$\begin{aligned} (3) &\stackrel{yields}{\implies} \sum_{i=1}^j r_i (P_0 - 2P_i) < 0 \stackrel{yields}{\implies} 0 < P_0 \quad (4) \\ &< 2P_i \end{aligned}$$

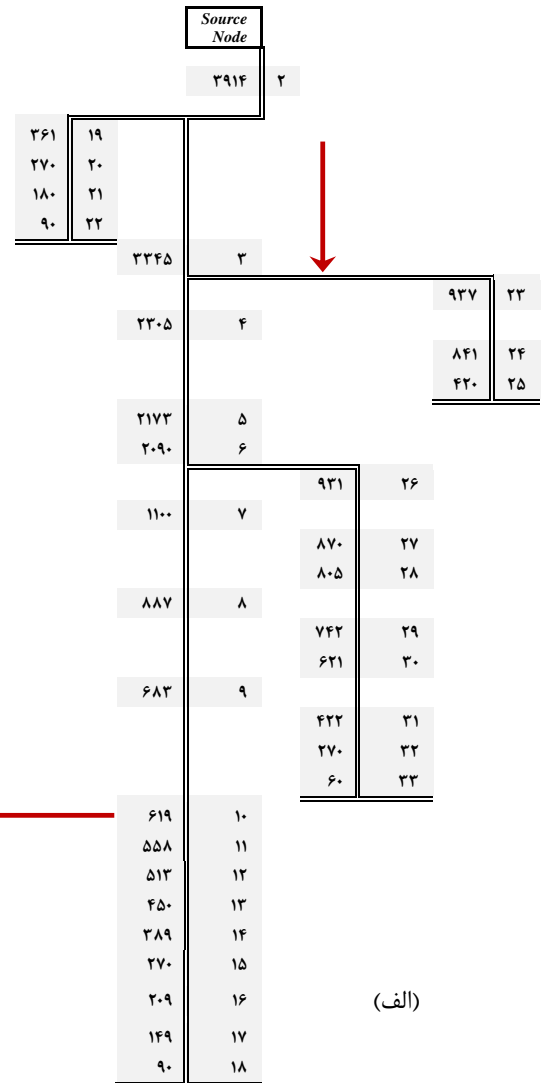
در شبکه‌های شعاعی داریم: $P_1 > P_2 > \dots > P_{j-1} > P_j$ برای برقراری رابطه‌ی (۴) به ازای تمامی مقادیر i کافی است که $P_0 < P_j$ باشد.

مگاوات و ۲/۳ مگاوار بوده که داده های مربوط به آن در [۴۷] قابل مشاهده هستند.

شینه برای تعیین بهترین نقاط جهت نصب DG مورد استفاده قرار می گیرد. مراحل چهارگانه فوق مطابق با شکل (۲) بر روی شبکه ۳۳ شینه مذکور اجرا می شوند. بار کل این شبکه توزیع ۳۳ شینه ۳/۷۲

مکان بهینه	حد پایین ($2P_{i+1}$)	حد بالا ($2P_i$)
۲	۶۶۹۰	۷۸۲۸٫۷
۳	۴۶۱۰	۶۶۹۰
۴	۴۳۴۶	۴۶۱۰
۶	۴۱۸۰	۴۳۴۶
۷	۳۱۹۹٫۵۶	۴۱۸۰
۷	۱۷۷۲٫۰۱	۶۳۱۹۹
۸	۱۳۶۵٫۴۵	۱۷۷۲
۹	۱۲۳۷٫۷۷	۱۳۶۵
۱۰	۱۱۱۶٫۲۲	۱۲۳۷٫۸
۱۱	۱۰۲۵٫۷	۱۱۱۷
۱۲	۹۰۰	۱۰۲۵٫۷
۱۳	۷۷۸٫۶۵	۹۰۰٫۰۵
۱۴	۵۳۹٫۳۳	۷۷۸٫۶۶
۱۵	۴۱۸٫۹۰	۵۳۹٫۳۳
۱۶	۲۹۸٫۶۵	۴۱۸٫۹
۱۷	۱۸۰	۲۹۸٫۶۶
۱۸	۰	۱۸۰

(ب)



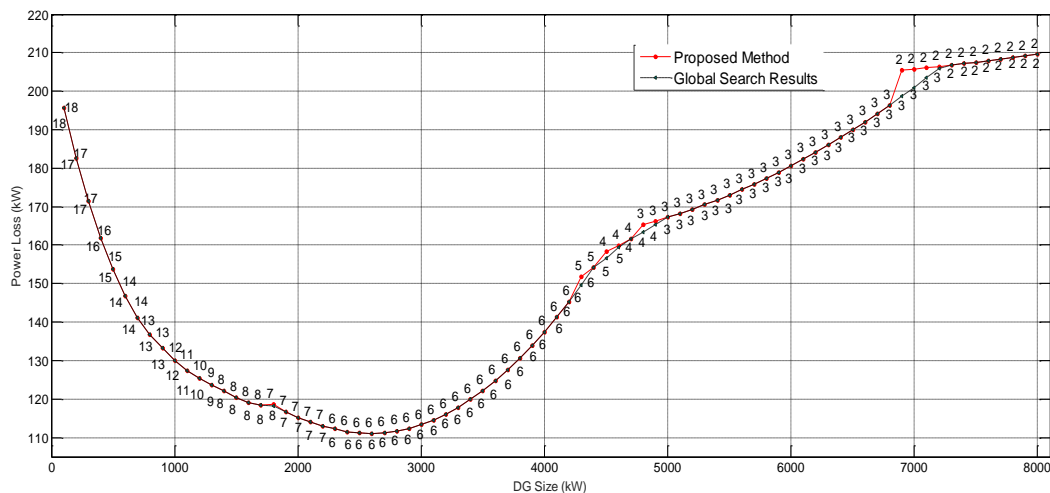
(الف)

مقادیر سمت راست عدد گره و سمت چپ مقادیر $2P_i$ هستند.

شکل (۲): (الف) نتایج پخش بار برای شبکه ۳۳ با سه وقتی بخش راکتیو بارها حذف شده و بخش اکتیو آن‌ها دو برابر ($2P_i$) شده است، (ب) مکان بهینه برای تزریق توان اکتیو در بازه داده شده (از صفر تا ۷۸۲۸/۷ کیلووات)

کیلووات) اختلاف اندکی بین نتایج دو روش وجود دارد که ناشی از عبور بخش راکتیو بارها از شاخه های شبکه است و منجر به ایجاد مقداری تلفات توان اکتیو در آنها می شود (که می تواند اندکی مقدار $2P_i$ شین ها را افزایش دهد). در حالی که از این موضوع در محاسبات روش پیشنهادی صرف نظر شده است.

شکل (۳) مکان بهینه ی به دست آمده از روش پیشنهادی و الگوریتم جستجوی سراسری با تلفات توان متناظر به ازای مقادیر مختلفی از توان اکتیو تزریق شده به شبکه را نمایش می دهد. پاسخ به دست آمده از روش پیشنهادی تقریباً همان پاسخ حاصل از روش جستجوی سراسری است. تنها در چهار حالت (به عنوان نمونه در حالت ۶۹۰۰



شکل (۳): تلفات توان محاسبه شده از روش پیشنهادی و روش جستجوی سراسری به ازای تزریق توان اکتیو به شبکه از ۱۰۰ کیلووات تا ۸۰۰ کیلووات

- (۱) بخش اکتیو تمامی بارها از داده‌های شبکه حذف و برنامه‌ی پخش بار را اجرا کنید.
- (۲) باس‌های شبکه را بر مبنای دامنه‌ی ولتاژ آن‌ها مرتب کنید.
- (۳) توان راکتیو عبوری از شاخه‌های بالادست (Q_i) را محاسبه نمایید.
- (۴) باس دارای کمترین ولتاژ که در شرط $Q_0 < 2Q_i$ صدق کند، بهترین باس برای نصب بانک خازنی است.

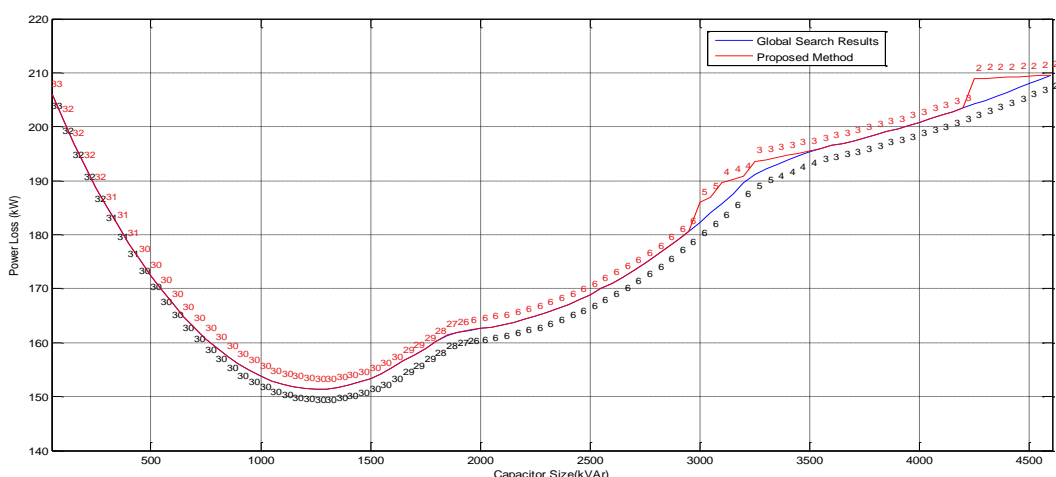
در شکل (۴) مکان بهینه‌ی به دست آمده از روش پیشنهادی و الگوریتم جستجوی سراسری به همراه تلفات توان متناظر با آن‌ها و به ازای مقادیر مختلفی از توان راکتیو تزریق شده به شبکه نمایش داده شده است. همانگونه که در این شکل ملاحظه می‌شود، پاسخ به دست آمده از روش پیشنهادی به جز چند مورد معدود، در بقیه‌ی موارد همان پاسخ حاصل از روش جستجوی سراسری است.

۲-۲- روش پیشنهادی در جبران‌سازی توان راکتیو

برای تعیین دو شرط لازم جهت حداکثر کردن کاهش تلفات توان شبکه می‌توان از روندی مشابه روند سابق استفاده کرد، با این تفاوت که در اینجا توان راکتیو به شبکه تزریق می‌شود (به عنوان مثال با نصب بانک خازنی در شبکه). شرط لازم حالت اول مشابه شرط مربوط به رابطه‌ی (۹) است، و شرط لازم حالت دوم را می‌توان به صورت رابطه‌ی زیر بیان کرد:

$$0 < Q_0 < 2Q_i \quad \forall i \in \{1, 2, \dots, j\} \quad (9)$$

در نتیجه برای مکان‌یابی و تعیین ظرفیت منابع تولید توان راکتیو در شبکه می‌توان گام‌های چهارگانه‌ی ذکر شده برای تخصیص بهینه‌ی توان اکتیو در بخش قبل را به صورت زیر تغییر داد:

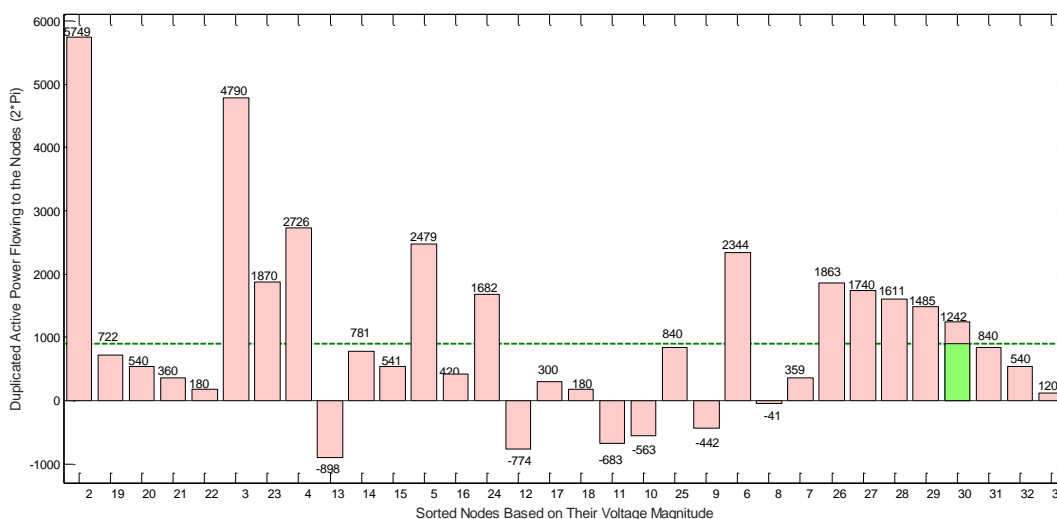
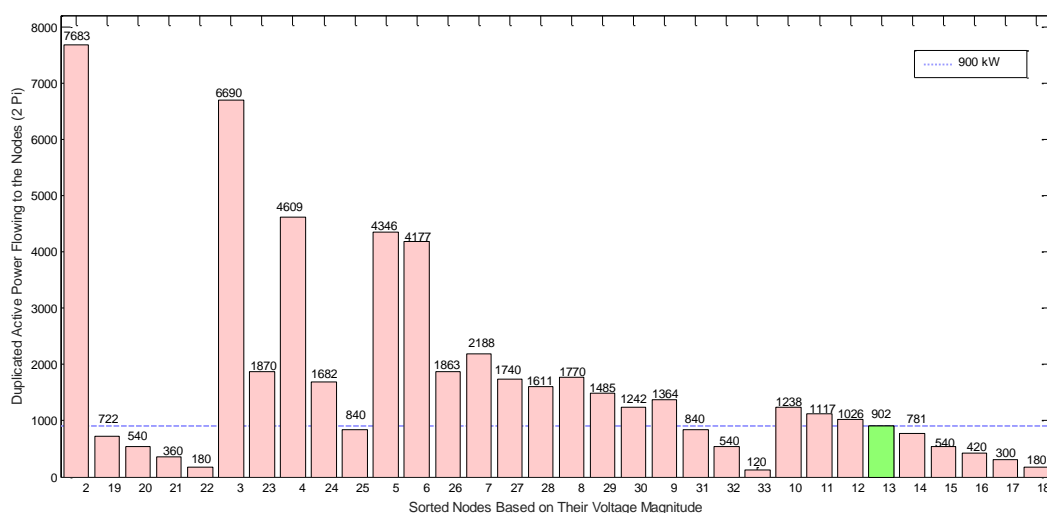


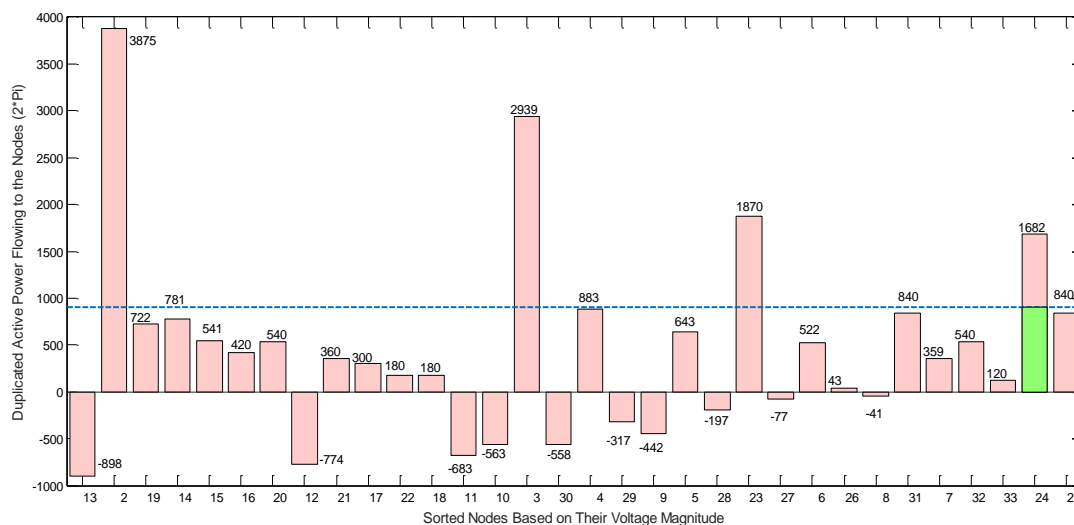
شکل (۴): تلفات توان محاسبه شده از روش پیشنهادی و روش جستجوی سراسری به ازای تزریق توان راکتیو به شبکه از ۱۰۰ کیلووات تا ۴۶۰۰ کیلووات

۳-۲- مکان‌یابی بهینه‌ی چندین DG با ظرفیت مشخص

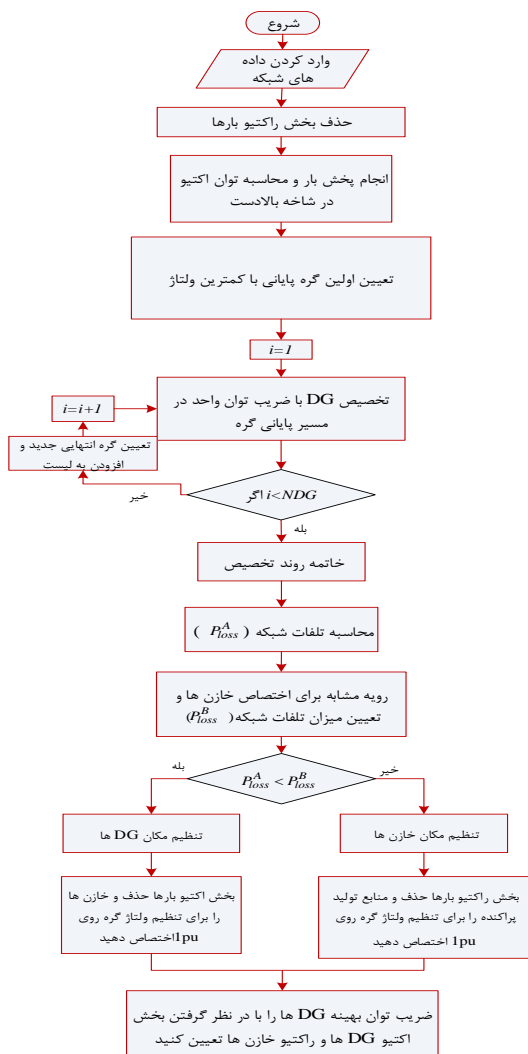
در شین شماره‌ی ۱۳ شبکه مکان‌یابی می‌گردد (شکل ۵ الف)). در ادامه با در نظر گرفتن اولین منبع تولید پراکنده‌ی نصب‌شده در شبکه، روند فوق از نو اجرا می‌شود و محل نصب دومین منبع تولید پراکنده در شین شماره‌ی ۳۰ شبکه تعیین می‌گردد (شکل ۵ ب)). در نهایت منبع تولید پراکنده‌ی سوم در شین ۲۴ مکان‌یابی می‌شود (شکل ۵ ج)). نتایج به دست آمده در این حالت دقیقاً مشابه نتایج به دست آمده از روش پخش بار جامع (*ELF*) در مرجع [۴۳] است. با این نحوه‌ی نصب منابع تولید پراکنده، میزان تلفات توان اکتیو در شبکه‌ی توزیع شعاعی ۳۳ شینه برابر با ۷۴/۲۷ کیلووات به دست می‌آید. لازم به ذکر است که تلفات این شبکه بدون نصب هیچ کدام از DG ها ۲۱۱ کیلووات می‌باشد. [۲۹]

چنانچه بخواهیم چندین DG (منابع تولید توان اکتیو) را در یک شبکه‌ی توزیع مکان‌یابی نماییم، باید این منابع را یکی پس از دیگری جا نمایی کنیم به طوری که در مکان‌یابی هر DG گام‌های ۱ تا ۴ پیاده‌سازی شوند. برای ارزیابی کارآمدی روش پیشنهادی در این حالات، از این روش برای مکان‌یابی سه واحد تولید پراکنده با توان ۹۰۰ کیلووات در یک شبکه‌ی توزیع ۳۳ شینه استفاده شده است. مراحل مکان‌یابی این سه منبع در شبکه بر اساس شکل (۵) اجرا شده است. با توجه به توضیحات ارائه‌شده در بخش‌های فوق، شین‌های این شبکه بر مبنای مقدار ولتاژشان مرتب‌سازی می‌شوند و سپس با در نظر گرفتن بازه‌ی توان اکتیو مربوط به تمامی شین‌های شبکه، DG نخست





شکل (۵): روند مکان‌یابی سه DG در شبکه‌ی توزیع ۳۳ شینه، شکل‌های (الف)، (ب)، (ج) به ترتیب نشان‌دهنده‌ی فرآیند مکان‌یابی منابع تولید پراکنده‌ی اول، دوم و سوم در شبکه هستند.



شکل (۶): نمودار گردش‌ی روش پیشنهادی برای محل‌یابی و تعیین ظرفیت DG با ضریب توان بهینه

پس از اجرای گام‌های ۱ تا ۴، محل و ظرفیت منابع تولید توان اکتیو DG دارای ضریب توان واحد) تعیین شده و تلفات توان اکتیو شبکه (P_{loss}^A) محاسبه می‌گردد. برای تعیین محل و ظرفیت منابع تولید توان راکتیو (بانک‌های خازنی) نیز روندی مشابه گام‌های ۱ تا ۴ اجرا می‌شود. در این شرایط نیز تلفات توان اکتیو شبکه (P_{loss}^B) مجدداً مورد محاسبه قرار می‌گیرد.

تلفات شبکه با در نظر گرفتن جبران‌سازهای توان اکتیو و راکتیو (یعنی P_{loss}^A و P_{loss}^B) با یکدیگر مقایسه می‌شوند. چنانچه $P_{loss}^A < P_{loss}^B$ باشد، محل‌های تعیین‌شده برای منابع اکتیو DG دارای ضریب توان واحد) به عنوان محل‌های بهینه در نظر گرفته می‌شوند؛ حال برای این محل‌ها مجدداً تزریق توان راکتیو (با استفاده از بانک‌های خازنی) انجام می‌گیرد (بدین معنی که بخش‌های اکتیو بارها حذف می‌شوند و مقدار بهینه‌ی توان راکتیو تزریق‌شونده به گونه‌ای محاسبه می‌شود که ولتاژ شین‌های تعیین‌شده‌ی فوق‌روی ۱ پروینیت تنظیم گردد). حال اگر $P_{loss}^A > P_{loss}^B$ باشد، محل‌های تعیین‌شده برای منابع راکتیو (بانک‌های خازنی) به عنوان محل‌های بهینه در نظر گرفته می‌شوند؛ سپس برای این مکان‌ها، تزریق توان اکتیو (با استفاده از DG دارای ضریب توان واحد) دوباره انجام می‌گیرد (یعنی ابتدا بخش‌های راکتیو بارها حذف شده و بعد مقدار بهینه‌ی توان اکتیو تزریق‌شونده به شین‌های منتخب به گونه‌ای محاسبه می‌شود که ولتاژ این شین‌ها روی ۱ پروینیت تنظیم گردد). ساختار کلی روش پیشنهادی برای تخصیص بهینه‌ی منابع تولید توان اکتیو و راکتیو به شبکه به صورت نمودار گردش‌ی شکل (۶) قابل نمایش است.

۳- روش پیشنهادی در شبکه‌ی ۳۳ باسه

به منظور ارزیابی کارآمدی طرح پیشنهادی، این روش در شبکه‌ی توزیع ۳۳ شینه و در محیط نرم افزار MATLAB کد گذاری شده است و نتایج حاصل با کارهای اخیر در این زمینه مقایسه می‌گردد. شش سناریوی مطالعاتی به صورت جدول (۱) در نظر گرفته شده است. سه سناریو از این شش سناریو عبارتند از مکان‌یابی و تعیین ظرفیت ۱، ۲ و ۳ منبع تولید پراکنده با ضریب توان واحد و سه سناریوی دیگر نیز مکان‌یابی و تعیین ظرفیت ۱، ۲ و ۳ بانک خازنی در شبکه هستند. نتایج به دست آمده در هر سناریو با نتایج حاصل از روش تحلیلی ارتقا

یافته (IA) [۴۳] و روش ترکیبی [۴۸] مورد مقایسه قرار گرفته‌اند. با توجه به مشاهدات حاصل، در برخی موارد (۱، ۲ و ۳ منبع تولید پراکنده) تلفات کمتری از روش‌های دیگر به دست آمده است، بدون آنکه ظرفیت‌های نصب‌شده خیلی بزرگتر از ظرفیت‌های مربوط به آن روش‌ها باشند. در برخی موارد دیگر (۱، ۲ و ۳ بانک خازنی) تلفات توان حاصل از روش پیشنهادی تقریباً برابر با تلفات حاصل از روش‌های دیگر است، با این تفاوت که در روش پیشنهادی این تلفات توان با ظرفیت‌های نصب‌شده‌ی کوچکتری به دست آمده است.

جدول (۱): مقایسه نتایج به دست آمده از روش پیشنهادی با روش‌های موجود در شبکه ۳۳ باسه

تعداد DG ها و خازن ها	روش ها	جزئیات				ظرفیت کل (kW/kVar)	تلفات اکتیو (kW)
		شین	مقدار	شین	مقدار		
شبکه اصلی	----					.	۲۱۱
1 DG	تحلیلی بهبود یافته	شین	۶			۲۶۰۰	۱۱۱،۱
		مقدار	۲۶۰۰				
	ترکیبی	شین	۶			۲۴۹۰	۱۱۱،۱۷
		مقدار	۲۴۹۰				
	روش پیشنهادی	شین	۶			۲۵۹۳،۶	۱۱۱،۰۳
		مقدار	۲۵۹۳،۶				
2 DG	تحلیلی بهبود یافته	شین	۶	۱۴		۲۵۲۰	۹۱،۶۳
		مقدار	۱۸۰۰	۷۲۰			
	ترکیبی	شین	۱۳	۳۰		۱۹۴۰	۸۷،۲۸
		مقدار	۸۳۰	۱۱۱۰			
	روش پیشنهادی	شین	۱۳	۳۰		۱۹۷۴	۸۷،۱۹
		مقدار	۸۴۰	۱۱۳۴			
3 DG	تحلیلی بهبود یافته	شین	۶	۱۲	۳۱	۲۵۲۰	۸۱،۰۵
		مقدار	۹۰۰	۹۰۰	۷۲۰		
	ترکیبی	شین	۱۳	۲۴	۳۰	۲۸۷۰	۷۲،۸۹
		مقدار	۷۹۰	۱۰۷۰	۱۰۱۰		
	روش پیشنهادی	شین	۱۳	۲۴	۳۰	۲۸۸۷	۷۲،۸۴
		مقدار	۷۹۲	۱۰۶۸	۱۰۲۷		
1 C	ترکیبی	شین	۳۰			۱۲۳۰	۱۵۱،۴۱
		مقدار	۱۲۳۰				
	روش پیشنهادی	شین	۳۰			۱۱۹۰	۱۵۱،۵۵
		مقدار	۱۱۹۰				
2 C	ترکیبی	شین	۱۲	۳۰		۱۴۷۰	۱۴۱،۹
		مقدار	۴۳۰	۱۰۴۰			
	روش پیشنهادی	شین	۱۳	۳۰		۱۴۵۷	۱۴۱،۹
		مقدار	۴۰۵	۱۰۵۲			
3 C	ترکیبی	شین	۱۳	۲۴	۳۰	۱۸۹۰	۱۳۸،۳۷
		مقدار	۳۶۰	۵۱۰	۱۰۲۰		
	روش پیشنهادی	شین	۱۳	۲۵	۳۰	۱۷۶۹	۱۳۸،۶۵
		مقدار	۳۸۳	۳۸۶	۱۰۰۰		

۳-۱- مکان‌یابی بهینه چندین DG با ظرفیت مشخص

در مطالعات قبلی، تنها تخصیص توان اکتیو (DG با ضریب توان واحد) یا راکتیو (خازن) در نظر گرفته شده بود. با استفاده از رویکرد

پیشنهادی نشان داده شده در نمودار گردشی شکل (۶)، اختصاص DG با تزریق توان اکتیو و راکتیو مورد هدف می‌باشد. همچنین ضریب توان بهینه واحدهای تخصیص یافته DG تعیین می‌شود. این ضریب

های توزیع بزرگ می‌باشد. برای تایید کارایی، رویکرد ارائه شده ابتدا بر روی شبکه توزیع ۳۳ باسه آزمایش می‌شود و نتایج به دست آمده با نتایج حاصل از روش جستجوی سراسری مقایسه می‌شود. سپس روش پیشنهادی برای تخصیص DG های چندگانه و خازن‌ها در سیستم های توزیع ۳۳ باسه استفاده و نتایج به دست آمده با نتایج IA ، PSO ، IA و روش آمیخته که در مقالات اخیر ارائه شده اند مقایسه می‌شود. پس از تایید توانایی روش ارائه شده، در مرحله نهایی برای تخصیص DG های چندگانه همراه با ضریب توان بهینه در شبکه توزیع ۱۱۹ باسه استفاده می‌شود. زمان اجرای روش پیشنهادی به طور قابل توجهی کمتر از روش‌های دیگر است. به عنوان مثال، در مورد $DG-7$ با ضریب توان واحد، زمان شبیه سازی ۴٫۱ ثانیه است در حالی که برای الگوریتم $BFO 24.96$ ثانیه است. رویکرد تحلیلی پیشنهادی از لحاظ کل مقدار تخصیص یافته، کاهش اتلاف انرژی و زمان محاسباتی نسبت به روش‌های قبلی برتری دارد. در نهایت، رویکرد ارائه شده بسیار دقیق، سریع و آسان و قابلیت اعمال بر سیستم های توزیع بزرگ می‌باشد.

توان بهینه بهترین مقدار توان تزریقی اکتیو (P) و راکتیو (Q) را برای به دست آوردن حداقل اتلاف انرژی، تعیین می‌کند. به این منظور، رویکرد پیشنهادی بر روی یک سیستم بزرگ مقیاس شبکه توزیع شعاعی ۱۱۹ باسه در پنج سناریو مورد آزمایش قرار می‌گیرد و با نتایج رفرنس [۴۹] مقایسه شده است. پروفیل ولتاژ شبکه ۱۱۹ باسه در موارد $DG-5$ و $DG-7$ برای ضریب توان واحد و بهینه در شکل های (۷) و (۸) نشان داده شده است. همانطور که مشاهده می‌شود در هر دو حالت ضریب توان واحد و بهینه، پروفیل ولتاژ نسبت به حالتی که DG در شبکه نصب نشده است، به طور مناسبی بهبود یافته است. در حالت ضریب توان بهینه، پروفیل ولتاژ تقریباً مسطح است و ولتاژ باس های DG به $1 pu$ افزایش یافته است.

۴- نتیجه گیری

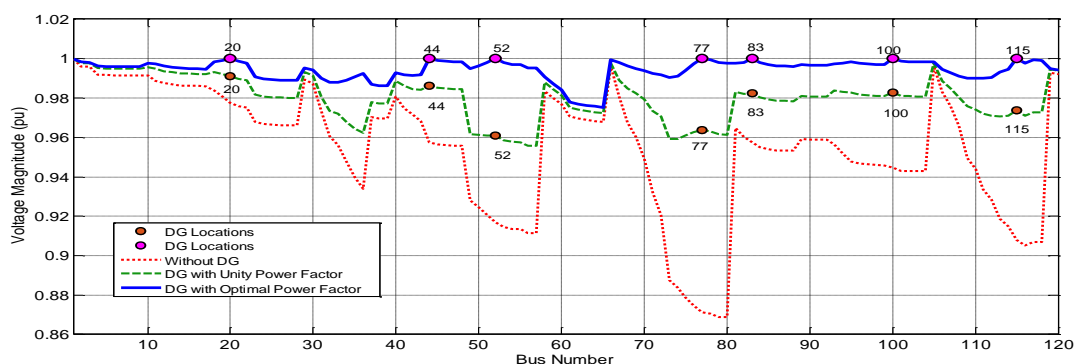
در این مقاله بر اساس دو فرمول اصلی، رویکردی تحلیلی و نوین ارائه شده است که بسیار ساده، سریع، دقیق و قابل اعمال بر روی سیستم

جدول (۲): مقایسه نتایج به دست آمده از روش پیشنهادی با روشهای موجود در شبکه ۱۱۹ باسه

روش	شبکه اصلی	روش پیشنهادی				رفرنس ۴۹				روش پیشنهادی				رفرنس ۴۹			
		۵ خازن				۵ منبع تولید پراکنده با ضریب توان واحد				۵ منبع تولید پراکنده با ضریب توان بهینه							
سناریوهای	---	توان راکتیو	شین	توان راکتیو	شین	توان راکتیو	شین	توان راکتیو	شین	توان راکتیو	شین	توان راکتیو	شین	توان راکتیو	شین		
مقدار توان اکتیو و راکتیو که باید در هر سناریو به مکان های معین تزریق شود	---	۲۶۶۵	۵۲	۲۵۱۴	۳۸	۱۲۹۵	۴۴	۲۷۵۰	۳۸	۱۲۹۵	۸۳۳	۴۴	۲۶۹۶	۲۴۸۰	۳۸		
	---	۱۵۲۱	۷۷	۱۴۲۵	۴۷	۲۷۶۹	۵۲	۲۰۰۰	۴۷	۲۷۶۹	۲۶۲۱	۵۲	۱۹۴۵	۱۳۰۰	۴۸		
	---	۱۶۵۸	۸۳	۱۵۲۱	۷۶	۲۴۲۲	۷۶	۲۸۰۰	۷۳	۲۴۲۲	۱۷۱۸	۷۶	۲۴۱۲	۱۵۸۰	۷۶		
	---	۱۰۹۸	۱۰۰	۱۷۱۵	۹۴	۱۸۱۲	۱۰۰	۲۱۶۰	۹۴	۱۸۱۲	۱۴۴۶	۱۰۰	۲۱۸۶	۱۷۰۰	۹۴		
	---	۲۵۶۰	۱۱۵	۲۰۲۱	۱۲۲	۲۷۸۰	۱۱۵	۲۹۵۰	۱۱۳	۲۷۸۰	۲۵۶۰	۱۱۵	۲۹۸۴	۲۴۰۰	۱۱۳		
کل توان اکتیو و راکتیو	---	۹۵۰۲		۹۱۹۶		۱۱۰۷۸		۱۲۶۶۰		۱۱۰۷۸	۹۱۷۸	--	۱۲۲۲۳	۹۴۶۰	--		
تلفات توان اکتیو	۱۲۹۸	۸۶۱٫۶		۸۷۱٫۴		۵۸۰٫۷۴		۵۷۸٫۹۷		۲۲۷٫۵			۲۲۷٫۹				
کاهش تلفات اکتیو	%	%۳۳٫۵		%۳۲٫۹		%۵۵٫۲		%۵۵٫۴		%۸۲٫۵			%۸۲٫۴				
حداقل ولتاژ	۰٫۸۶۹	۰٫۹۰۹۴		۰٫۹۰۶۲		۰٫۹۵۵۸		۰٫۹۵۳۶		۰٫۹۶۶۲			۰٫۹۶۴				
زمان محاسبه (ثانیه)	.	۲		۲۳٫۲۱		۲٫۵		۲۳٫۲۴		۵٫۴			۲۴٫۶۵				

روش	شبکه اصلی	روش پیشنهادی	رفرنس ۴۹	روش پیشنهادی	رفرنس ۴۹						
سناریوها	---	۷ منبع تولید پراکنده با ضریب توان واحد		۷ منبع تولید پراکنده با ضریب توان بهینه							
مقدار توان اکتیو و راکتیو که باید در هر سناریو به مکان های معین تزریق شود	---	توان اکتیو	شین	توان اکتیو	شین						
		۱۸۰۲	۲۰	۱۵۴۵	۳۲	۱۸۰۲	۱۱۲۰	۲۰	۱۷۵۶	۱۳۰۰	۱۹
		۱۲۶۷	۴۴	۱۹۶۸	۳۹	۱۲۶۷	۸۲۲	۴۴	۲۶۴۵	۲۵۱۰	۳۹
		۲۷۳۱	۵۲	۲۰۷۳	۴۸	۲۷۳۱	۲۶۱۳	۵۲	۲۰۴۴	۱۱۶۵	۴۸
		۲۲۸۷	۷۷	۲۶۷۰	۷۴	۲۲۸۷	۱۵۲۱	۷۷	۲۳۹۱	۱۵۲۰	۷۲
		۲۰۸۰	۸۳	۱۵۳۴	۸۷	۲۰۸۰	۱۶۵۸	۸۳	۱۵۳۶	۱۰۰۰	۸۷
		۱۶۶۷	۱۰۰	۲۱۰۶	۹۴	۱۶۶۷	۱۰۹۸	۱۰۰	۲۰۱۲	۱۶۴۰	۹۴
۲۷۸۰	۱۱۵	۳۱۲۸	۱۱۳	۲۷۸۰	۲۵۶۲	۱۱۵	۲۸۱۵	۲۴۰۰	۱۱۳		
کل توان اکتیو و راکتیو	---	۱۴۶۱۴	۱۵۰۱۴	۱۴۶۱۴	۱۱۳۹۴	--	۱۵۱۹۷	۱۱۵۳۵	--		
تلفات توان اکتیو	۱۲۹۸	۵۱۵٫۷	۵۲۶٫۳۴	۱۲۸٫۸	۱۳۲٫۱						
کاهش تلفات اکتیو	%	%۶۰٫۲	%۵۹٫۵	%۹۰٫۱	%۸۹٫۹						
حداقل ولتاژ	۰٫۸۶۹	۰٫۹۵۵۸	۰٫۹۴۹۷	۰٫۹۷۵۳	۰٫۹۷۶۱						
زمان محاسبه (ثانیه)	.	۴٫۱	۲۴٫۹۶	۶٫۲	۲۵٫۹۶						

شکل (۷): پروفیل ولتاژ و توان شبکه ۱۱۹ شینه در حالت نصب DG-۵



شکل (۸): پروفیل ولتاژ و توان شبکه ۱۱۹ شینه در حالت نصب DG-۷

مراجع

- [1] H. L. Willis, Power Distribution Planning Reference Book, 2nd Edition, MarcelDekker, New York, 2004, pp. 1217.
- [2] W. H Kersting, "Distribution System Modeling and Analysis", CRC Press, 2000.
- [3] R. Borjali Navesi, D. Nazarpour, R. Ghanizadeh, P. Alemi, "Switchable Capacitor Bank Coordination and Dynamic Network Reconfiguration for Improving Operation of Distribution Network Integrated with Renewable Energy Resources" Journal of Modern Power Systems and Clean Energy, vol.10, pp. 637 – 646, 2021, DOI: 10.35833/MPCE.2020.000067
- [4] D. Shirmohammadi, H. W. "Reconfiguration of electric distribution networks for resistive line losses reduction", IEEE Trans. Power Deliv., vol. 4, no. 2, pp. 671-679, Apr. 1989.
- [5] G. K. Viswanadha, P. R. Bijwe, "Efficient reconfiguration of balanced and unbalanced distribution systems for loss minimization", IET Gener. Transm. Distrib., vol. 2, no. , pp. 7-12, Jan. 2008.
- [6] Y. Wu, C. Lee, L. Liu, S. Tsai, "Study of reconfiguration for the distribution system with distributed generators", IEEE Trans. Power Deliv., vol. 25, no. 3, pp. 1678-1685, Apr. 2010.
- [7] R. S. Rao, S. V. L. Narasimham, M. R. Raju, A. S. Rao, "Optimal network reconfiguration of large-scale distribution system using harmony search algorithm", IEEE Trans. Power Syst., vol. 26, no. 3, pp. 1080-1088, Aug. 2011.
- [8] R. Rao, K. Ravindra, K. Satish, S. Narasimham, "Power loss minimization in distribution system using network reconfiguration in the presence of distributed generation", IEEE Trans. Power Syst., vol. 28, no. 1, pp. 317-325, May. 2012.
- [9] T. Ackermann, G. Andersson, L. Soder, "Distributed generation: a definition", Electr. Power Syst. Res., vol. 57, no. 3, pp. 195-204, Apr. 2001.
- [10] J. A. Pecos Lopes, N. Hatziargyrou, J. Mutale, P. Djapic, N. Jenkins, "Integrating Distributed Generation into Electric Power Systems: a Review of Drivers,

- with distributed generation”, *IEEE Trans. Power Syst.*, vol. 18, no. 4, pp. 1346-1352, Nov. 2003.
- [25] D. T. C Wang, L. F. Ochoa, G. P. Harrison, “DG impact on investment deferral: network planning and security of supply”, *IEEE Trans. Power Syst.*, vol. 25, no. 2, pp.1134-1141, May 2010.
- [26] W. Lingfeng, C. Singh, “Reliability-constrained optimum placement of reclosers and distributed generators in distribution networks using an ant colony system algorithm”, *IEEE Trans. Syst. Man. Cybern. Appl. Rev. Part C*, vol. 38, no. 6, pp. 757-764, Nov. 2008.
- [27] D. Zhu, R. P. Broadwater, K. S. Tam, R. Seguin, H. Asgeirsson, “Impact of DG placement on reliability and efficiency with time-varying loads. *IEEE Trans. Power Syst.*, vol. 21, no. 1, pp. 419-427, Feb 2006.
- [28] P. Chiradeja, R. Ramkumar, “An approach to quantify the technical benefits of distributed generation”, *IEEE Trans. Energy Convers.*, vol. 19, no. 4, pp. 764-773, Nov. 2004.
- [29] A. C. Rueda-Medina, J. F. Franco, M. J. Rider, A. Padilha-Feltrin, R. A. Romero, “Mixed-integer linear programming approach for optimal type, size and allocation of distributed generation in radial distribution systems”, *Electr. Power Syst. Res.*, vol. 97, pp. 133-143, Apr. 2013.
- [30] Akbar Bayat, Amir Bagheri, Ramin Borjali Navesi "A real-time PMU-based optimal operation strategy for active and reactive power sources in smart distribution systems" *Electric Power Systems Research*, Volume 225, December 2023, 109842, <https://doi.org/10.1016/j.epsr.2023.109842>
- [31] K. Muthukumar, S. Jayalalitha, “Optimal placement and sizing of distributed generators and shunt capacitors for power loss minimization in radial distribution networks using hybrid heuristic search optimization technique”, *Electr Power Energy Syst.*, vol. 78, 299-319, Jun. 2016.
- [32] W. Sebastian, L. R. Jose, E. Istvan, “Optimal allocation and sizing of dynamic VAR sources using heuristic optimization”, *IEEE Trans. Power Syst.*, vol. 30, no. 5, pp. 2538-2546, Sep. 2015.
- [33] T. N. Shukla, S. P. Singh, V. Srinivas, K. B. Naik, “Optimal sizing of distributed generation placed on radial distribution systems”, *Electr. Power Compon. Syst.*, vol. 38, no. 3, pp. 260-274, Jan. 2010.
- [34] G. Celli, E. Ghiani, S. Mocci, F. Pilo, “A multi-objective evolutionary algorithm for siting and sizing of distributed generation”, *IEEE Trans. Power Syst.*, vol. 20, no. 2, pp. 750-757, May 2005.
- [35] A. Ameli, S. Bahrami, F. Khazaeli, M. R. Haghifam, “Multiobjective particle swarm optimization for sizing and placement of dgs from dg owner's and distribution company's viewpoints”, *IEEE Trans Power Deliv.*, vol. 29, no. 4, pp. 1831-1840, Aug. 2014.
- [36] K. Nekooei, M. M. Farsangi, H. Nezamabadi-Pour, K. Y. Lee, “An improved multiobjective harmony search for optimal placement of DGs in distribution systems”, *IEEE Trans. Smart Grid*, vol. 4, no. 1, pp. 557-567, Mar. 2013.
- [37] M. H. Moradi, M. Abedini, “A combination of genetic algorithm and particle swarm optimization for optimal DG location and sizing in distribution systems”, *Electr. Power Energy Syst.*, vol. 34, no. 1, pp. 66-74, Jan. 2012.
- [38] M. Gandomkar, M. Vakilian, M. Ehsan, “A genetic based tabu search algorithm for optimal DG allocation in Challenges and Opportunities”, *Electr. Power Syst. Res.*, vol. 77, no. 9, pp. 1189-1203, Jul. 2007
- [11] H. L. Willis, G. S. Walter, “Distributed power generation: planning and evaluation”, CRC Press, 2000.
- [12] H. A. M. Pesaran, P. D. Huy, V. K. Ramachandaramurthy, “A review of the optimal allocation of distributed generation: Objectives, constraints, methods, and algorithms”, *Renew. Sustain. Energ. Rev.*, vol. 75, pp. 293-311, Aug. 2017.
- [13] H. Hedayati, S. A. Nabaviniaki, A. Akbarimajd, “A method for placement of DG units in distribution networks”, *IEEE Trans. Power Deliv.*, vol. 23, no. 3, pp.1620-16288, May 2008.
- [14] F. S. Abu-Mouti, M. E. El-Hawary, “Optimal distributed generation allocation and sizing in distribution systems via artificial bee colony algorithm”, *IEEE Trans. Power Deliv.*, vol. 26, no. 4, pp. 2090-2101, Oct. 2011.
- [15] DQ. Hung, N. Mithulananthan N, K. Y. Lee, “Optimal placement of dispatchable and nondispatchable renewable DG units in distribution networks for minimizing energy loss”, *Electr. Power Energ. Syst.* vol. 55, pp. 179-86.
- [16] S. Lee S, J. W. Park, “Selection of optimal location and size of multiple distributed generations by using kalman filter algorithm”, *IEEE Trans. Power Syst.*, vol. 24, no. 3, pp. 1393-1400.
- [17] KM. Muttaqi, AD Le, M. Negnevitsky, G. Ledwich, “An algebraic approach for determination of dg parameters to support voltage profiles in radial distribution networks. *IEEE Trans. Smart Grid*, vol. 5, no. 3, pp. 1351-1360, Apr. 2014.
- [18] P. Juanuwattanakul, M. Masoum, “Increasing distributed generation penetration in multiphase distribution networks considering grid losses, maximum loading factor and bus voltage limits”, *IET Gener. Transm. Distrib.*, vol. 6, no. 12, pp. 1262-1271, Dec. 2012.
- [19] Rajaeyan E, Zeinali Davarani R. Optimal Allocation and Capacity Determination of Hybrid Distributed Generation Resources to Provide Load, Optimal Use of Renewable Resources, Reduce Net Present Cost, and Improve Network Voltage Stability. *Journal of Iranian Association of Electrical and Electronics Engineers 2023*; 20 (2) :19-27.
- [20] Kharazian E, Jalilian A. Optimal Allocation of DGs with BESS for Improving Voltage Quality Problems in a Reconfigurable Distribution Network. *Journal of Iranian Association of Electrical and Electronics Engineers 2023*; 20 (2) :29-42.
- [21] V. H. Mendez, J. Rivier, De la Fuente, T. Gomez, J. Arceluz, J. Marn, M. Madurga, “Impact of distributed generation on distribution investment deferral”, *Electr. Power Energy Syst.*, vol. 28, no. 4, pp. 244-252. May 2006.
- [22] Z. Yan, Z. Gao, R. Borjali Navesi, M. Jadidoleslam, A. Pirouzi, " Smart Distribution Network Operation based on Energy Management System Considering Economic-Technical Goals of Network Operator" *journal of Energy Reports*, vol.9, pp 4466-4477,2023, doi.org/10.1016/j.egy.2023.03.095
- [23] A. A. Chowdhury, S. K. Agarwal, D. O. Koval, “Reliability modeling of distributed generation in conventional distribution systems planning and analysis”, *IEEE Trans Ind. Appl.*, vol. 39, no. 5, pp.1493-1498, Sep. 2003.
- [24] M. Yiming, K. N. Miu, “Switch placement to improve system reliability for radial distribution systems

- distribution networks”, *Electr. Power Compon. Syst.*, vol. 33, no. 12, pp. 1351-1362, Feb. 2007.
- [39] M. Nayeripour, E. Mahboubi-Moghaddam, J. Aghaei J, A. Azizi-Vahed, “Multi-objective placement and sizing of DGs in distribution networks ensuring transient stability using hybrid evolutionary algorithm”, *Renew Sustain Energy Rev.*, vol.25, pp. 759-767, Sep. 2013.
- [40] C. Wang, M. H. Nehrir, “Analytical approaches for optimal placement of distributed generation sources in power systems”, *IEEE Trans. Power Syst.*, vol. 19, no. 4, pp. 2068-2076.
- [41] N. Acharya, P. Mahat, N. Mithulananthan, “An analytical approach for DG allocation in primary distribution network”, *Electr. Power Syst. Res.*, vol. 28, no. 10, pp. 669-678, Dec. 2006.
- [42] D. Q. Hung, N. Mithulananthan, R. C. Bansal, “Analytical expressions for DG allocation in primary distribution networks”, *IEEE Trans. Energy Convers.*, vol. 25, no. 3, pp. 814-820, Sep. 2010.
- [43] D. Q. Hung, N. Mithulananthan, “Multiple distributed generator placement in primary distribution networks for loss reduction”, *IEEE Trans. Ind. Electron.*, vol. 60, no. 4, pp. 1700-1708, Apr. 2013.
- [44] T. Gozel, M. H. Hocaoglu, “An analytical method for the sizing and siting of distributed generators in radial system”, *Electr. Power Syst. Res.*, vol. 79, no. 6, pp. 912-918, Jun. 2009.
- [45] H. Khan, M. A. Choudhary, “Implementation of distributed generation (IDG) algorithm for performance enhancement of distribution feeder under extreme load growth”, *Electr. Power Energy Syst.*, vol. 32, no. 9, pp. 985-997, Nov. 2010.
- [46] S. N. G. Nayk, D. K. Khatod, M. P. Sharma, “Analytical approach for optimal siting and sizing of distributed generation in radial distribution networks”, *IET Gener. Transm. Distrib.*, vol. 9, no. 3, pp. 209-220, Feb. 2015.
- [47] S. Elsaiah, M. Benidris, J. Mitra, “Analytical approach for placement and sizing of distributed generation on distribution systems”, *IET Gener. Transm. Distrib.*, vol. 8, no. 6, pp. 209-220, Jun. 2014.
- [48] S. Kansal, V. Kumar, B. Tyagi, “Hybrid approach for optimal placement of multiple DGs of multiple types in distribution networks”, vol. 75, pp. 226-235, Feb. 2016.
- [49] K. R. Devabalaji, K. Ravi, “Optimal size and siting of multiple DG and DSTATCOM in radial distribution system using Bacterial Foraging Optimization Algorithm”, *Ain Shams Engineering Journal*, vol. 7, no. 3, pp. 959-971, Sep. 2016.

زیر نویس ها

¹ Genetic Algorithms

² Particle swarm optimization

³ Harmony Search

⁴ Artificial Bee Colony

⁵ Tabu Search

⁶ Shuffled Frog Leaping Algorithm

⁷ Bacterial Foraging optimization Algorithm

⁸ Distribution static compensator